



よりつぎのごとく導かれる。

$$P_{S_2} = K_3 a_S^2 = K_3 (f_S)^2 [\% S]^2 \dots \dots \dots (13)$$

$$\therefore \log P_{S_2} = \log K_3 + 2 \log f_S + 2 \log [\% S] \dots \dots \dots (14)$$

ここで  $\log K_3$  は (11) 式で表わされ、また  $\log f_S$  は前報<sup>2)</sup>においてつぎのごとく与えられている。

$$\log f_S = (233/T - 0.153)[\% S] \dots \dots \dots (15)$$

したがつて (11) 式および (15) 式を (14) 式に代入すれば  $P_{S_2}$  と温度ならびに硫黄濃度との関係式が導かれる。

$$\begin{aligned} \log P_{S_2}(\text{atm}) &= -15,880/T + 3.44 \\ &+ (466/T - 0.306)[\% S] + 2 \log [\% S] \end{aligned} \dots \dots \dots (16)$$

また 0.5% 以下の硫黄濃度において近似的に HENRY の法則が適用され得るものとすれば、その場合には  $\log P_{S_2}$  はつぎのように表わすことができる。

$$\begin{aligned} \log P_{S_2}(\text{atm}) &= -15,880/T + 3.44 \\ &+ 2 \log [\% S] \end{aligned} \dots \dots \dots (17)$$

そこで (16) 式より、各温度における  $\log P_{S_2}$  と硫黄濃度との関係式ならびに各硫黄濃度における  $\log P_{S_2}$  と温度との関係式をもとめれば、それぞれ Table 1 および Table 2 に示すごとくになる。また各温度、各硫黄濃度における  $P_{S_2}$  をもとめ、これをグラフに示せば Fig. 1 のごとくになる。

すなわち、 $P_{S_2}$  は低硫黄濃度においては近似的に硫黄

Table 1. Relations between  $\log P_{S_2}$  and sulphur concentration.

Temp. (°C)	Equations
1550	$\log P_{S_2}(\text{atm}) = -0.051[\% S] + 2 \log [\% S] - 5.27$ $\log P_{S_2}(\text{mmHg}) = -0.051[\% S] + 2 \log [\% S] - 2.39$
1600	$\log P_{S_2}(\text{atm}) = -0.057[\% S] + 2 \log [\% S] - 5.04$ $\log P_{S_2}(\text{mmHg}) = -0.057[\% S] + 2 \log [\% S] - 2.16$
1650	$\log P_{S_2}(\text{atm}) = -0.064[\% S] + 2 \log [\% S] - 4.82$ $\log P_{S_2}(\text{mmHg}) = -0.064[\% S] + 2 \log [\% S] - 1.94$
1700	$\log P_{S_2}(\text{atm}) = -0.070[\% S] + 2 \log [\% S] - 4.61$ $\log P_{S_2}(\text{mmHg}) = -0.070[\% S] + 2 \log [\% S] - 1.73$
1750	$\log P_{S_2}(\text{atm}) = -0.076[\% S] + 2 \log [\% S] - 4.41$ $\log P_{S_2}(\text{mmHg}) = -0.076[\% S] + 2 \log [\% S] - 1.53$

Table 2. Relations between  $\log P_{S_2}$  and temperature.

[% S]	Equations
0.05	$\log P_{S_2}(\text{atm}) = -15,860/T + 0.82$ $\log P_{S_2}(\text{mmHg}) = -15,860/T + 3.70$
1	$\log P_{S_2}(\text{atm}) = -15,410/T + 3.13$ $\log P_{S_2}(\text{mmHg}) = -15,410/T + 6.01$
2	$\log P_{S_2}(\text{atm}) = -14,950/T + 3.43$ $\log P_{S_2}(\text{mmHg}) = -14,950/T + 6.31$
3	$\log P_{S_2}(\text{atm}) = -14,480/T + 3.47$ $\log P_{S_2}(\text{mmHg}) = -14,480/T + 6.35$
4	$\log P_{S_2}(\text{atm}) = -14,020/T + 3.42$ $\log P_{S_2}(\text{mmHg}) = -14,020/T + 6.30$
5	$\log P_{S_2}(\text{atm}) = -13,550/T + 3.31$ $\log P_{S_2}(\text{mmHg}) = -13,550/T + 6.19$

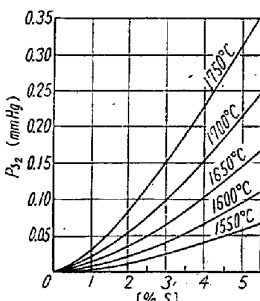


Fig. 1.  $P_{S_2}$  related to sulphur concentration and temperature.

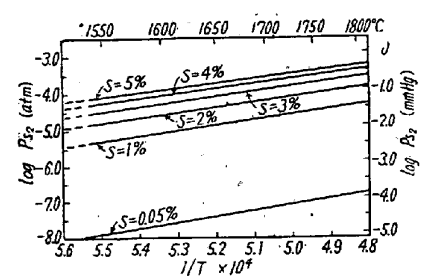


Fig. 2. Relation between  $\log P_{S_2}$  and  $1/T$ .

濃度の二乗に比例し、放物線関係が成立するが、高濃度においては熔鉄中の硫黄の活量が減少するためその関係はむしろ直線に近くなる。いずれにしても実際の鉄鋼製錬におけるような硫黄濃度の低い場合には、 $P_{S_2}$  はきわめて小さく、たとえば 0.05% S の熔鉄と平衡する  $S_2$  ガスの圧力は、製錬温度において  $10^{-5}$  mm Hg の数位の値となる。

また Table 2 より  $\log P_{S_2}$  と  $1/T$  との関係をグラフに示せば、Fig. 2 のごとくになり、直線関係で表わされる。直線の勾配は硫黄濃度の増加とともに減少している。

一般に物質の蒸気圧と蒸発熱との間には CLAUSIUS-CLAPEYRON の関係が成立するから、それを用いれば熔鉄中の硫黄の  $S_2$  ガスへの蒸発熱を求めることができる。

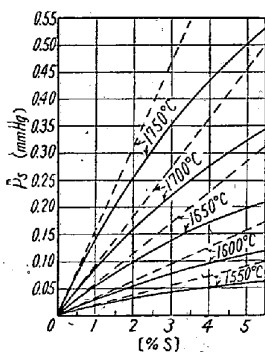
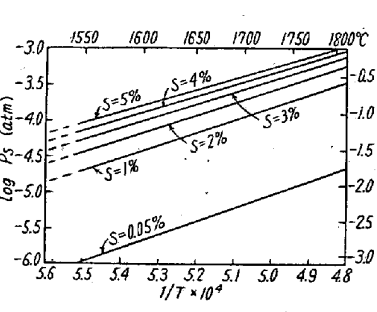
$$d \ln P_{S_2} / d T = \bar{A} \bar{H}_{S_2} / RT^2 \dots \dots \dots (18)$$

$$\therefore d \log P_{S_2} / d (1/T) = -\bar{A} \bar{H}_{S_2} / 4.575 \dots \dots \dots (19)$$



Table 4. Relations between  $\log P_S$  and sulphur concentration.

Temp. (°C)	Equations
1550	$\log P_S(\text{atm}) = -0.026[\%S] + \log[\%S] - 4.63$
	$\log P_S(\text{mmHg}) = -0.026[\%S] + \log[\%S] - 1.75$
1600	$\log P_S(\text{atm}) = -0.029[\%S] + \log[\%S] - 4.37$
	$\log P_S(\text{mmHg}) = -0.029[\%S] + \log[\%S] - 1.49$
1650	$\log P_S(\text{atm}) = -0.032[\%S] + \log[\%S] - 4.13$
	$\log P_S(\text{mmHg}) = -0.032[\%S] + \log[\%S] - 1.25$
1700	$\log P_S(\text{atm}) = -0.035[\%S] + \log[\%S] - 3.90$
	$\log P_S(\text{mmHg}) = -0.035[\%S] + \log[\%S] - 1.02$
1750	$\log P_S(\text{atm}) = -0.038[\%S] + \log[\%S] - 3.69$
	$\log P_S(\text{mmHg}) = -0.038[\%S] + \log[\%S] - 0.81$

Fig. 3.  $P_S$  related to sulphur concentration and temperature.Fig. 4. Relations between  $\log P_S$  and  $1/T$ .

気圧を  $0.05\%$  以下の硫黄濃度において求めている。彼らの実験結果と著者らの計算結果とは、定性的傾向はよく似ているが、その数値においてはかなり開きが認められる。たとえば、 $0.05\%S$  の熔鉄における  $P_S$  の値を比較すれば、著者らの計算値は、彼らの実験値の約 10 倍大となっている。この相違は、一応熱力学的計算あるいは実験上の誤差によるものと考えられるが、これについて検討を加える必要がある。

つぎに Table 5 より  $\log P_S$  と  $1/T$  との関係をグラフに示せば Fig. 4 のごとくになり、直線関係で表わされる。直線の勾配は、 $P_{S_2}$  の場合と同様、硫黄濃度の増加とともに減少している。

Table 5. Relations between  $\log P_S$  and temperature.

[%S]	Equations
0.05	$\log P_S(\text{atm}) = -17,380/T + 3.60$ $\log P_S(\text{mmHg}) = -17,380/T + 6.48$
1	$\log P_S(\text{atm}) = -17,160/T + 4.76$ $\log P_S(\text{mmHg}) = -17,160/T + 7.64$
2	$\log P_S(\text{atm}) = -16,920/T + 4.90$ $\log P_S(\text{mmHg}) = -16,920/T + 7.78$
3	$\log P_S(\text{atm}) = -16,690/T + 4.93$ $\log P_S(\text{mmHg}) = -16,690/T + 7.81$
4	$\log P_S(\text{atm}) = -16,460/T + 4.90$ $\log P_S(\text{mmHg}) = -16,460/T + 7.78$
5	$\log P_S(\text{atm}) = -16,220/T + 4.84$ $\log P_S(\text{mmHg}) = -16,220/T + 7.72$

さらにこの関係より、 $P_{S_2}$  の場合と同様 CLAUSIUS-CLAPEYRON の関係式を用いて、熔鉄中の硫黄の S ガスへの蒸発熱を求めることができる。

$$d \ln P_S / d T = \Delta \bar{H}_S / RT^2 \quad \dots \dots \dots (35)$$

$$d \log P_S / d (1/T) = -\Delta \bar{H}_S / 4.575 \quad \dots \dots \dots (36)$$

そこで (36) 式の関係を用いて、 $\Delta \bar{H}_{S_2}$  の場合と同様にして  $\Delta \bar{H}_S$  を求め、それと硫黄濃度との関係を示せば次式のごとくになる。

$$\Delta \bar{H}_S = 79,570 - 1,070[\%S] \quad \dots \dots \dots (37)$$

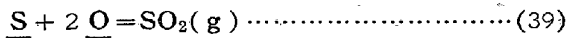
つぎに  $P_{S_2}(x_1, x_2, \dots)$  の場合と同様にして、Fe-S-X<sub>1</sub>-X<sub>2</sub>…なる多元系熔鉄と平衡せる S ガスの圧力を求めれば、次式のごとくになる。

$$\begin{aligned} \log P_{S(x_1, x_2, \dots)}(\text{atm}) &= -17,390/T + 4.91 \\ &+ (233/T - 0.153)[\%S] \\ &+ \log [\%S] + \sum_{i=1}^n \log f_S^{(x_i)} \end{aligned} \quad \dots \dots \dots (38)$$

この (38) 式においても、 $P_{S_2}(x_1, x_2, \dots)$  の場合と同様 Table 3 に示した  $\log f_S^{(x)}$  の関係式をそのまま利用しても差支えないものと思われる。

### III. 熔鉄中の硫黄と酸素および亜硫酸ガスとの平衡

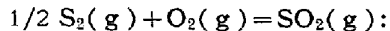
熔鉄中の硫黄と酸素および亜硫酸ガスとの平衡はつぎのごとく表わされる。



$$\begin{aligned} K_s &= P_{SO_2}/a_s a_o^2 \\ &= P_{SO_2}/f'_s f_S^{(O)} (f'_o)^2 (f_O^{(S)})^2 [\%S][\%O]^2 \end{aligned} \quad \dots \dots \dots (40)$$

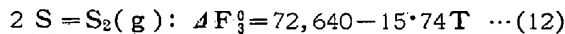
この平衡関係も、ほかの2, 3の熱力学的データ<sup>10)</sup>を用いて計算で求めることができる。

すなわち、 $S_2(g)$  と  $O_2(g)$  より  $SO_2(g)$  を生成する反応の自由エネルギー変化は次式で与えられる<sup>11)</sup>。

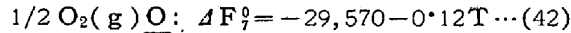


$$\Delta F^\circ_f = -86,380 + 17 \cdot 30T \quad \dots \dots \dots (41)$$

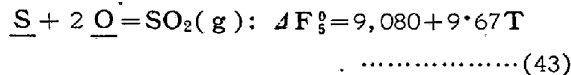
熔鉄中の硫黄の  $S_2$  ガスへの蒸発自由エネルギー変化は前述の(12)式で表わされる。



また酸素ガスの熔鉄への溶解自由エネルギー変化はつぎのごとく示される<sup>9)</sup>。



以上(41), (12), (42)式より、(39)式の反応の自由エネルギー変化ならびに平衡恒数はつぎのごとく求められる。



$$\log K_5 = -1,980/T - 2 \cdot 11 \quad \dots \dots \dots (44)$$

つぎに熔鉄中の硫黄および酸素と平衡せる  $SO_2$  ガスの圧力は(40)式よりつぎのごとく導かれる。

$$\begin{aligned} P_{SO_2} &= K_5 a_S a_O^2 \\ &= K_5 f'_S f_S^{(O)} (f_O')^2 (f_O^{(S)})^2 [\% S] [\% O]^2 \end{aligned} \quad \dots \dots \dots (45)$$

$$\therefore \log P_{SO_2} = \log K_5 + \log f'_S + \log f_O^{(O)} + 2 \log f_O' + 2 \log f_O^{(S)} + \log [\% S] + 2 \log [\% O] \quad \dots \dots \dots (46)$$

ここにおいて  $\log K_5$  は前述の(44)式、 $\log f'_S$  は(15)式でそれぞれ与えられるから、いま  $\log f_O'$ ,  $\log f_O^{(S)}$ ,  $\log f_O^{(O)}$  が製錬温度において近似的に

$$\log f_O' = -0 \cdot 20 [\% O] \quad \dots \dots \dots (47)$$

$$\log f_O^{(S)} = 1 \cdot 0 [\% S] \quad \dots \dots \dots (48)$$

$$\log f_O^{(O)} = 2 \cdot 0 [\% O] \quad \dots \dots \dots (49)$$

のごとく表わされうるものとすれば<sup>6)(10)</sup>、これらの式を(46)式に代入することにより、 $P_{SO_2}$  と温度、硫黄および酸素濃度との関係式が得られる。すなわち、

$$\begin{aligned} \log P_{SO_2(\text{atm})} &= -1,980/T - 2 \cdot 11 \\ &\quad + (233/T + 1 \cdot 85) [\% S] + \log [\% S] \\ &\quad + 1 \cdot 6 [\% O] + 2 \log [\% O] \end{aligned} \quad \dots \dots \dots (50)$$

この関係を利用して、1600°Cにおいて硫黄を0.05%および1%，酸素を0.02%含む熔鉄における亜硫酸ガスの平衡圧を求めれば、それぞれ  $1 \cdot 4 \times 10^{-5}$  mmHg、および  $2 \cdot 0 \times 10^{-2}$  mmHgとなる。すなわち硫黄濃度が高くなれば、熔鉄中の酸素の活量が増大するために、亜硫酸ガスの分圧は急激に増大する。

つぎに WAGNER の関係をもちいれば、Fe-S-O-X<sub>1</sub>-X<sub>2</sub>…なる多元系熔鉄と平衡せる亜硫酸ガスの圧力をつぎのごとく求めることができる。

$$\begin{aligned} \log P_{SO_2(x_1, x_2, \dots)} &= \log K_5 + \log f'_S + \log f_S^{(O)} \\ &\quad + 2 \log f_O' + 2 \log f_O^{(S)} + \log [\% S] \\ &\quad + 2 \log [\% O] + \log f_S^{(X_1)} + \log f_S^{(X_2)} + \dots \\ &\quad + 2 \log f_O^{(X_1)} + 2 \log f_O^{(X_2)} + \dots \end{aligned} \quad \dots \dots \dots (51)$$

(50) および (51) 式より

$$\begin{aligned} \log P_{SO_2(x_1, x_2, \dots)(\text{atm})} &= -1,980/T - 2 \cdot 11 \\ &\quad + (233/T + 1 \cdot 85) [\% S] \\ &\quad + \log [\% S] + 1 \cdot 6 [\% O] + 2 \log [\% O] \\ &\quad + \sum_{i=1}^n \log f_S^{(X_i)} + 2 \sum_{i=1}^n \log f_O^{(X_i)} \end{aligned} \quad \dots \dots \dots (52)$$

ここで  $\log f_S^{(X)}$  についてはすでに Table 3 において示したところであり、また  $\log f_O^{(X)}$  については、多くの元素に関しすでに一部明らかにされている。Table 6 は1,600°Cにおける  $\log f_O^{(X)}$  と [%X]との関係を、既知のデータ<sup>6)(10)</sup>より示したものである。

Table 6. Relations between  $\log f_O^{(X)}$  and [%X] at 1600°C.

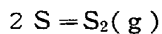
Constituent X	Equations
C	$\log f_O^{(C)} = -0 \cdot 41 [\% C]$
Si	$\log f_O^{(Si)} = -0 \cdot 02 [\% Si]$
Mn	$\log f_O^{(Mn)} = 0$
P	$\log f_O^{(P)} = -0 \cdot 8 [\% P]$
S	$\log f_O^{(S)} = 1 \cdot 0 [\% S]$
Al	$\log f_O^{(Al)} = -12 [\% Al]$
Cr	$\log f_O^{(Cr)} = -0 \cdot 041 [\% Cr]$
Ni	$\log f_O^{(Ni)} = 0 \cdot 006 [\% Ni]$
V	$\log f_O^{(V)} = -0 \cdot 27 [\% V]$
W	$\log f_O^{(W)} = 0 \cdot 0085 [\% W]$
Mo	$\log f_O^{(Mo)} = 0 \cdot 0035 [\% Mo]$
Co	$\log f_O^{(Co)} = 0 \cdot 007 [\% Co]$
Cu	$\log f_O^{(Cu)} = -0 \cdot 0095 [\% Cu]$
Au	$\log f_O^{(Au)} = -0 \cdot 005 [\% Au]$
Pt	$\log f_O^{(Pt)} = 0 \cdot 0045 [\% Pt]$

したがつて、いま Table 6 の関係式が、いずれも成分Xの稀薄濃度において近似的に温度に無関係になりたつものとすれば、(52)式において、それらの関係式を、Table 3 の  $\log f_S^{(X)}$  の関係式とともにそのまま利用しうるものとして差支えないであろう。

#### IV. 結 言

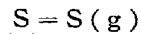
熔鉄中の硫黄と硫黄ガスとの平衡関係、ならびに熔鉄中の硫黄と酸素および亜硫酸ガスとの平衡関係を2, 3の熱力学的データより求め、それより熔鉄中の硫黄の蒸発熱、熔鉄と平衡せる硫黄ガスおよび亜硫酸ガスの圧力ならびにそれらの多元系熔鉄における関係を考察した。それらを要約すればつきのごとくである。

(1) 以上の平衡関係は次式によつて示される。



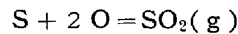
$$\log K_3 = -15,880/T + 3.44$$

$$\Delta F_3^\circ = 72,640 - 15.74T$$



$$\log K_4 = -17,390/T + 4.91$$

$$\Delta F_4^\circ = 79,570 - 22.47T$$



$$\log K_5 = -1,980/T - 2.11$$

$$\Delta F_5^\circ = 9,080 + 9.67T$$

(2) 熔鉄と平衡する硫黄ガスは2原子分子および单原子分子の状態で存在するが、実際の鉄鋼製錬におけるような高温で硫黄濃度のきわめて低い場合には、それと平衡する硫黄ガスはほとんど单原子分子状の硫黄ガスであつて、その分圧はきわめて小さい。

(3) 熔鉄中の硫黄の任意濃度における  $S_2$  ガスおよび  $S$  ガスへの蒸発熱は次式によつて求められる。

$$\Delta \bar{H}_{S_2} = 72,640 - 2,130[\% S]$$

$$\Delta \bar{H}_S = 79,570 - 1,070[\% S]$$

(4) 多元系熔鉄と平衡せる硫黄ガスおよび亜硫酸ガ

スの圧力は次式によつて表わされる。

$$\log P_{S_2}(x_1, x_2, \dots, x_{atm}) = -15,880/T + 3.44$$

$$+ (466/T - 0.306)[\% S]$$

$$+ 2 \log [\% S] + 2 \sum_{i=1}^n \log f_S^{(X_i)}$$

$$\log P_S(x_1, x_2, \dots, x_{atm}) = -17,390/T + 4.91$$

$$+ (233/T - 0.153)[\% S]$$

$$+ \log [\% S] + \sum_{i=1}^n \log f_S^{(X_i)}$$

$$\log P_{SO_2}(x_1, x_2, \dots, x_{atm}) = -1,980/T - 2.11$$

$$+ (233/T + 1.85)[\% S]$$

$$+ \log [\% S] + 1.6[\% O] + 2 \log [\% O]$$

$$+ \sum_{i=1}^n \log f_S^{(X_i)} + 2 \sum_{i=1}^n \log f_O^{(X_i)}$$

(昭和 35 年 8 月寄稿)

#### 文 献

- 1) C. W. SHERMAN, H. I. ELVANDER and J. CHIPMAN: Trans. Met. Soc., Amer. Inst. Min., Met. & Pet. Eng., 188 (1950), 334
- 2) 足立 彰, 森田善一郎: 鉄と鋼, 44 (1958), 637
- 3) G. ST. PIERRE and J. CHIPMAN: J. Amer. Chem. Soc., 76 (1954), 4787
- 4) J. CHIPMAN: "Basic Open Hearth Steel-making" A.I.M.E., (1951), 571
- 5) C. WAGNER: "Thermodynamics of Alloys" (1952), 51
- 6) J. CHIPMAN: J. Iron & Steel Inst. (U.K.), 180 (1955), 97
- 7) 足立 彰, 森田善一郎: 鉄と鋼, 44 (1958), 965; 学振報告, 19 委-5104, (1958), 7, 17
- 8) A. A. GRANOVSKAYA and A. P. LYUBIMOV: "Application of Radioactive Isotope to Metallurgy" (1955), 83
- 9) N. A. GOKCEN: J. Metals, 8 (1956), 1558
- 10) T. P. FLORIDIS and J. CHIPMAN: Trans. Met. Soc., Amer. Inst. Min., Met. & Pet. Eng., 212 (1958), 549